

## ФИЗИЧЕСКИЕ СВОЙСТВА КРИСТАЛЛОВ

УДК 548.54

# ФАЗОВЫЙ СОСТАВ, СТРУКТУРА И МАГНИТНЫЕ СВОЙСТВА ТВЕРДЫХ РАСТВОРОВ $\text{Cd}_{1-x}\text{Zn}_x\text{Te}$ ПРИ МАЛЫХ КОНЦЕНТРАЦИЯХ $\text{Zn}$

© 2023 г. П. Л. Подкур<sup>1,2</sup>, И. С. Волчков<sup>1,\*</sup>, М. Д. Павлюк<sup>1</sup>, В. Б. Кварталов<sup>1</sup>,  
Р. Б. Моргунов<sup>3</sup>, В. М. Каневский<sup>1</sup>

<sup>1</sup>Институт кристаллографии им. А.В. Шубникова ФНИЦ “Кристаллография и фотоника” РАН, Москва, Россия

<sup>2</sup>МИРЭА – Российский технологический университет, Москва, Россия

<sup>3</sup>Институт проблем химической физики РАН, Черноголовка, Россия

\*E-mail: volch2862@gmail.com

Поступила в редакцию 07.07.2022 г.

После доработки 12.08.2022 г.

Принята к публикации 12.08.2022 г.

Модифицированным методом Обреимова–Шубникова получены поликристаллические слитки  $\text{Cd}_{1-x}\text{Zn}_x\text{Te}$  ( $x = 0.005, 0.03, 0.05$ ). Отобранные монокристаллические блоки изучены методами рентгенофазового анализа, измерения электрических характеристик и магнитометрии. Исследована концентрационная зависимость изменения магнитных и электрических свойств кристаллов. Установлено, что при концентрации  $\text{Zn}$  ( $x = 0.03, 0.05$ ) наблюдается ферромагнитное упорядочение в кластерах (включениях), содержащих железо и/или никель при 2 К, чего не наблюдается на образцах  $\text{Cd}_{1-x}\text{Zn}_x\text{Te}$  ( $x = 0.005$ ).

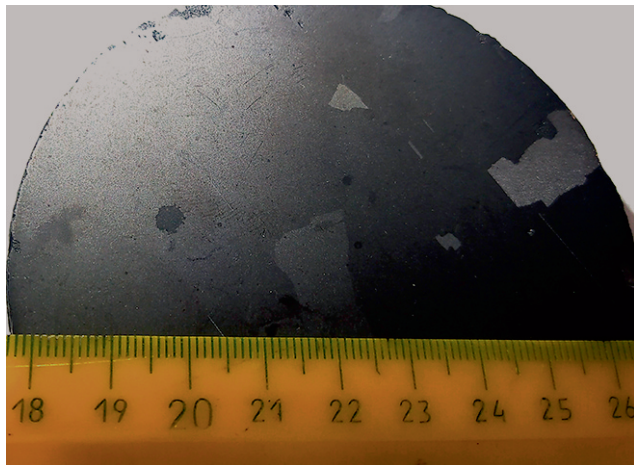
DOI: 10.31857/S0023476123010216, EDN: DQOFHG

### ВВЕДЕНИЕ

Теллурид кадмия CdTe является представителем класса широкозонных полупроводников и выделяется среди аналогов целым рядом свойств. Так, высокая плотность (5.85 г/см<sup>3</sup>) и атомные номера компонентов, образующих CdTe (48 и 52 соответственно), приводят к высокому коэффициенту фотоэлектрического поглощения [1]. Высокая поглащающая способность материала позволяет создавать на его основе детекторы для широкого диапазона энергий от 0.005 до 10 МэВ [2], а возможность использования элементов меньших размеров приводит к увеличению пространственного разрешения и, соответственно, качества изображения [3–5]. Детекторы на основе CdTe применяются в ряде областей, таких как ядерный мониторинг [6], компьютерная томография [7, 8], в системах безопасности [9], спектрометрах/телескопах для рентгеновской визуализации (STIX) [10], а также для оснащения экспериментальных станций на источниках синхротронного излучения [1, 8, 11, 12, 17]. Важным преимуществом детекторов на основе CdTe является возможность работы при комнатной температуре [12]. Получение высокоомного монокристаллического материала на основе CdTe, необходимого для использования в качестве детекторного материала, весьма сложная, но чрезвычайно актуальная задача.

В общем случае широкозонные полупроводники с шириной запрещенной зоны  $E_g > 1$  эВ должны обладать низкой проводимостью и являться диамагнитными. Это справедливо для идеальных стехиометрических кристаллов. Однако в реальности соединения  $A_{\text{II}}B_{\text{VI}}$  являются фазами переменного состава, и отклонение состава кристаллов от стехиометрического вызывает образование собственных дефектов, таких как вакансии и межузельные атомы, и может приводить к изменению физических характеристик кристаллов. К таким же изменениям может приводить легирование различными примесями в процессе роста кристаллов CdTe, в результате которого отклонение от стехиометрического состава происходит путем образования дефектных комплексов, имеющих в своем составе примесные дефекты. Согласно [13–16] соединения на основе CdTe могут проявлять ферромагнитные свойства, обусловленные кластерами легирующего компонента. Поэтому определение связи между условиями роста и физическими свойствами полупроводниковых кристаллов представляет практический интерес.

В настоящее время кристаллы CdTe чаще применяют не в чистом виде, а в виде твердых растворов  $\text{Cd}_{1-x}\text{Zn}_x\text{Te}$  – перспективного материала для изготовления детекторов ионизирующего излучения, работающего при комнатной температуре.



**Рис. 1.** Поликристаллический слиток образца CdZnTe. Хорошо заметна блочная структура слитка.

Введение Zn стабилизирует кадмиеевую подрешетку CdTe [18, 19], улучшая структурные характеристики получаемых кристаллов. Данное соединение образует непрерывный ряд твердых растворов в квазибинарной системе CdTe–ZnTe [20], при этом увеличение концентрации Zn приводит к увеличению температуры плавления расплава. Поэтому качество кристаллов  $\text{Cd}_{1-x}\text{Zn}_x\text{Te}$  будет существенно зависеть от условий роста. Замещение в структуре CdTe атомов Cd атомами Zn позволяет увеличить ширину запрещенной зоны от 1.50 до 1.65 эВ при содержании  $\text{Zn} x = 0.10$  и повысить удельное сопротивление кристаллов до  $10^{11}$  Ом см [21–23]. Повышение содержания Zn в твердом растворе более чем  $x > 0.12$  приводит к заметному ухудшению микроструктуры кристаллов [12], что обусловлено фазовой микронеоднородностью. То есть собственные и примесные дефекты в кристаллах приводят к изменению не только электрических [24], но и магнитных свойств [13]. Таким образом, для получения монокристаллов  $\text{Cd}_{1-x}\text{Zn}_x\text{Te}$  с высоким структурным совершенством необходим прецизионный контроль концентрации Zn в кристаллах, чтобы не возникало деградации физических свойств. Для решения этой задачи требуются более подробные исследования зависимости свойств соединения  $\text{Cd}_{1-x}\text{Zn}_x\text{Te}$  от его дефектной структуры, в том числе при низких концентрациях Zn, что и является целью данной работы.

## МАТЕРИАЛЫ И МЕТОДИКА ЭКСПЕРИМЕНТА

В качестве объектов исследования использовали поликристаллические слитки  $\text{Cd}_{1-x}\text{Zn}_x\text{Te}$  ( $x = 0.005, 0.03, 0.05$ ), полученные модифициро-

ванным методом Обреимова–Шубникова [12, 25]. Шихта, используемая в процессе роста, состояла из предварительно синтезированного теллурида кадмия, к которому добавляли необходимое количество металлического Zn (марка ЧДА). Благодаря разработанной методике очистки исходных веществ элементарные Cd и Te имели чистоту не менее  $10^{-7}$  мас. % [12, 26]. Элементный примесный состав образцов и содержание Zn контролировали методами энерго-дисперсионного анализа (ЭДС) с использованием растрового электронного микроскопа JCM-6000 PLUS Jeol (Япония) с приставкой для ЭДС-анализа и масс-спектрометром (МС) iCapQc Thermo Scientific (США) с ионизацией в индуктивно связанной плазме. Масс-спектрометр позволяет определять концентрации элементов в следовых количествах вплоть до  $10^{-10}$ – $10^{-12}$  мас. %. Точный контроль примесного состава необходим из-за значительного влияния, оказываемого примесями на электрические и магнитные свойства кристаллов на основе CdTe [14–16, 27]. Фазовый состав выращенных образцов определяли методом рентгенофазового анализа (РФА) на рентгеновском порошковом дифрактометре Miniflex 600 Rigaku (Япония,  $\text{Cu}K_{\alpha}$ -излучение) при комнатной температуре. Зависимости магнитного момента от поля  $M(H)$  при разных температурах и его температурные зависимости  $M(T)$  были получены с помощью СКВИД-магнитометра MPMS XL (Quantum Design, США) в диапазоне  $T = 2$ – $350$  К и  $H = \pm 50$  кЭ. Выявленная блочность (рис. 1) связана с тепловыми условиями кристаллизации при монотонном охлаждении слитка со скоростью 3 К/ч. Все исследуемые кристаллы являлись кристаллами  $p$ -типа. Для исследований отбирали монокристаллические блоки, которые шлифовали и полировали. Образцы для измерения вольт-амперных характеристик (ВАХ) представляли собой сростки двух монокристаллических блоков. Во избежание пробоя по границе блоков каждый участок обрабатывали по отдельности. Для измерения ВАХ образцы размером  $5 \times 5 \times 2$  мм<sup>3</sup> с золотыми электродами, нанесенными из водного раствора  $\text{AuCl}_3$  на рабочие поверхности, образованные сколами по плоскостям спайности (110), помещали в светодиодную камеру. Перед непосредственным снятием ВАХ кристаллы выдерживали в течение 30 мин.

## РЕЗУЛЬТАТЫ И ИХ ОБСУЖДЕНИЕ

Результаты химического анализа на Zn, Fe и Ni в выращенных кристаллах, усредненные по областям, представлены табл. 1. Содержание остальных элементов в исследуемых кристаллах было ниже пределов чувствительности используемых методов. Присутствие элементов подгруппы железа вызвано использованием Zn низкой чистоты

Таблица 1. Примесный состав кристаллов  $\text{Cd}_{1-x}\text{Zn}_x\text{Te}$ 

Элемент	Содержание примеси в исследуемом образце, ат. %					
	$\text{Cd}_{0.995}\text{Zn}_{0.005}\text{Te}$		$\text{Cd}_{0.97}\text{Zn}_{0.03}\text{Te}$		$\text{Cd}_{0.95}\text{Zn}_{0.05}\text{Te}$	
	ЭДС	МС	ЭДС	МС	ЭДС	МС
Zn		0.00038	1.6	1.61	2.38	2.52
Fe		0.00114		0.00226		0.00076
Ni		0.00082		0.00045		0.00079

ты, который не подвергался предварительной химической очистке. Содержание Zn в кристаллах оказывается существенно ниже вследствие более низкой температуры плавления Zn в сравнении с CdTe.

На рис. 2 представлены результаты РФА исследуемых образцов  $\text{Cd}_{1-x}\text{Zn}_x\text{Te}$ . Выращенные кристаллы  $\text{Cd}_{1-x}\text{Zn}_x\text{Te}$  имеют структурный тип сфалерита (пр. гр.  $F\bar{4}3m$ ). CdZnTe является бинарным соединением, представляющим собой твердый раствор CdTe + ат. % ZnTe. Поэтому процессы построствого охлаждения происходят аналогично тому, как они протекают в CdTe. Разные кристаллические блоки имели различный химический состав, что связано с особенностью кристаллизации твердого раствора. Так, в образ-

це  $\text{Cd}_{1-x}\text{Zn}_x\text{Te}$  ( $x = 0.005$ ) присутствовали две кубические фазы CdTe с различными параметрами решетки ( $a = 0.649$  и  $a = 0.6481$  нм соответственно), в то время как образцы с  $x = 0.03$  и  $0.05$  содержали одну и две фазы CdZnTe соответственно. Смещение пиков новой фазы в сторону больших углов с увеличением концентрации Zn свидетельствует об уменьшении параметра элементарной ячейки согласно правилу Вегарда, поскольку атомный радиус Zn (0.139 нм) меньше радиуса Cd (0.158 нм). Наличие в соединении фазовых переходов первого рода является причиной возникновения ряда трудностей при получении кристаллов с заданным химическим составом. Известно [12], что при охлаждении кристалла в интервале температур фазового перехода (рис. 3) появлению новой фазы сопутствует резкое изменение соста-

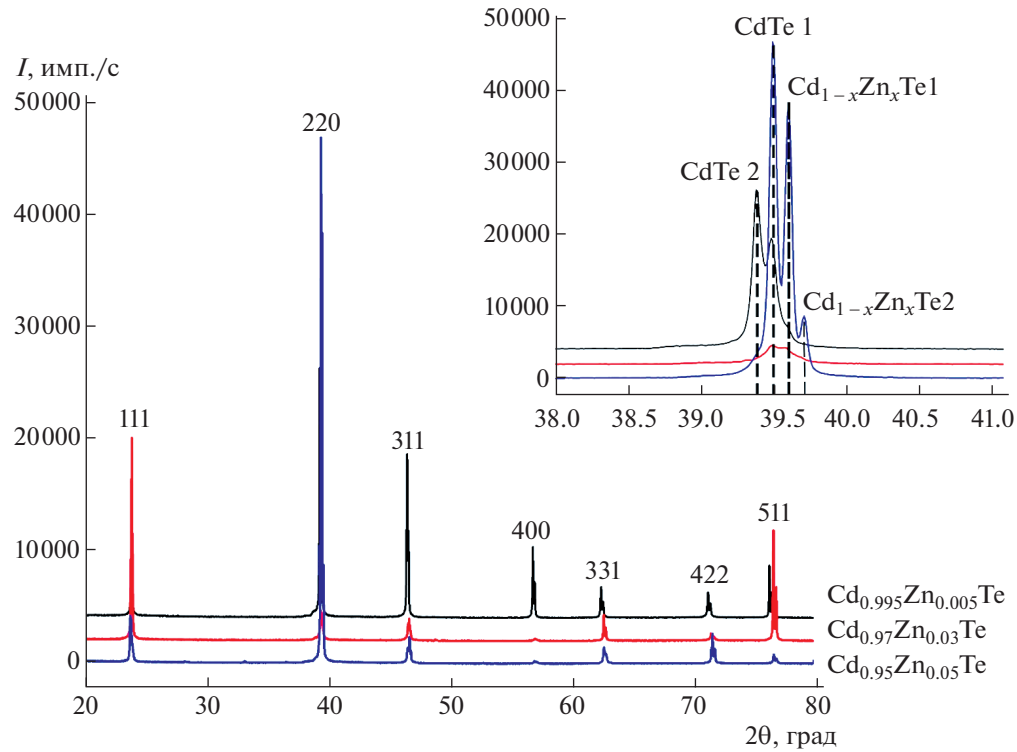


Рис. 2. Рентгенограммы порошка кристаллов  $\text{Cd}_{1-x}\text{Zn}_x\text{Te}$  ( $x = 0.005, 0.03, 0.05$ ). На врезке увеличенная область  $2\theta = 38^\circ - 41^\circ$ .

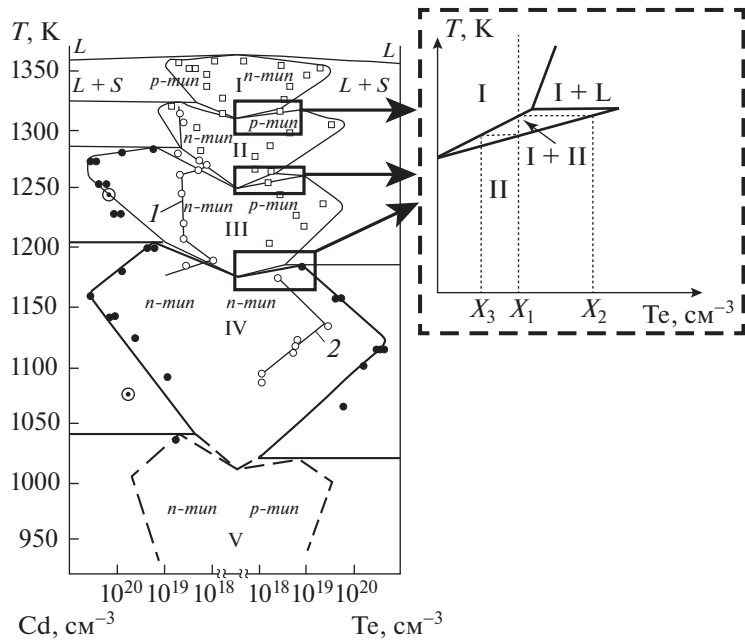


Рис. 3. Схематическое изображение на диаграмме фрагмента двухфазного состояния в интервале температур фазового перехода в процессе охлаждения кристалла CdTe [27, 28].

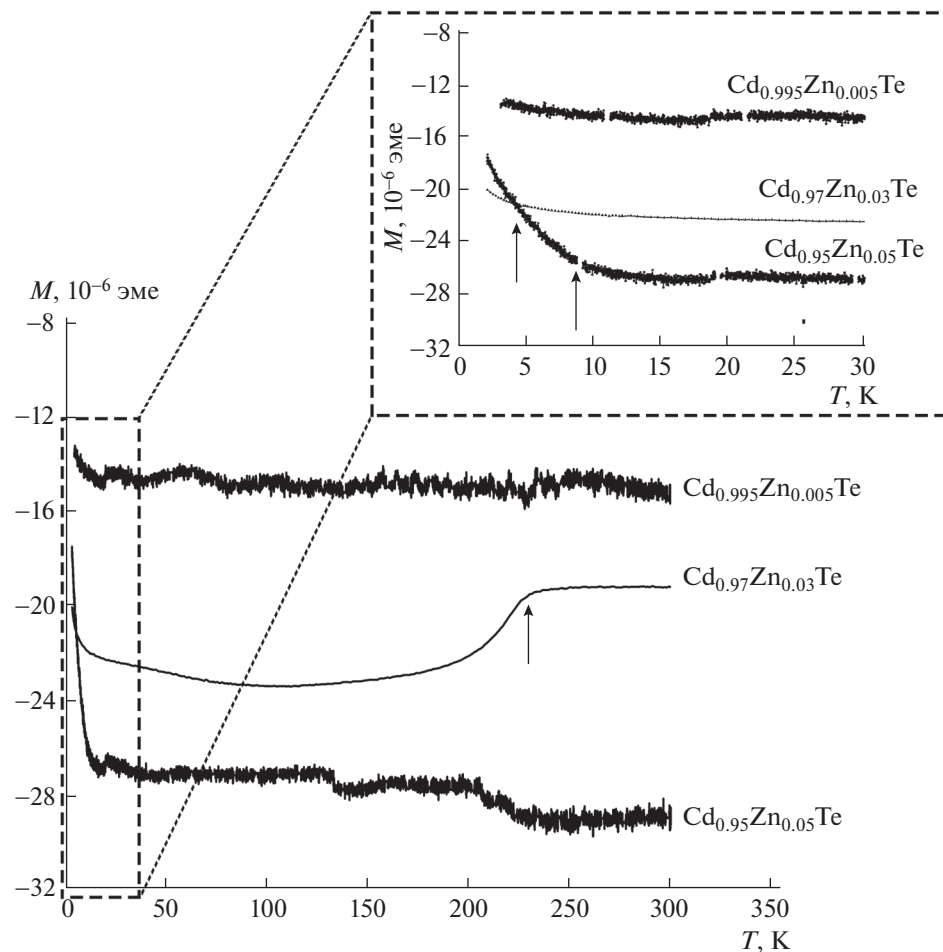
ва, т.е. исходный состав кристалла (фаза I) меняется при образовании фазы II от величины  $X_1$  до величины  $X_2$ . Изменение состава фазы II происходит при условии установления равновесия между твердыми фазами I и II, реализация которого возможна при очень низких скоростях охлаждения кристалла. При этих условиях обеспечивается диффузия атомов избыточного компонента из питающей фазы I к зарождающейся фазе II. Однако исходный состав ( $X_2$ ) фазы II не остается постоянным и по мере ее образования в условиях медленного охлаждения стремится к величине ( $X_1$ ). Можно предположить, что по аналогии с зарождением кристалла из жидкой фазы зарождение новой фазы происходит в объеме фазы I в местах скопления точечных и структурных дефектов. Таким образом, медленное охлаждение кристалла в интервале температур фазового перехода должно сопровождаться диффузионными потоками избыточного компонента, что в дальнейшем станет определяющим для электромагнитных свойств.

Электрические характеристики образцов, измеренные с помощью снятия ВАХ, показали, что образец  $\text{Cd}_{1-x}\text{Zn}_x\text{Te}$  ( $x = 0.005$ ) является низкоомным ( $\sim 4 \times 10^3$  Ом см). Это связано с медленным охлаждением кристалла в интервале температур фазового перехода, и зарождение кристалла сопровождается диффузионными потоками избыточного компонента, которые в связи с постоянно изменяющейся концентрацией приводят к возникновению преципитатов и концентрацион-

ной микронеоднородности в кристалле. В результате возникает состояние очень высокого разупорядочения, в котором часть атомов попадает в междуузлия, образуя одновременно вакансии, занимающие не свойственные им узлы решетки. Это, в свою очередь, приводит к неоднородности электрических и оптических свойств кристалла. Образцы  $\text{Cd}_{1-x}\text{Zn}_x\text{Te}$  имели смешанную блочную структуру. Так, блоки, состоящие из фазы CdTe, имели меньшее электрическое сопротивление ( $\sim 4 \times 10^7$  и  $\sim 2 \times 10^8$  Ом см для  $\text{Cd}_{0.97}\text{Zn}_{0.03}\text{Te}$  и  $\text{Cd}_{0.95}\text{Zn}_{0.05}\text{Te}$  соответственно), чем блоки, состоящие из CdZnTe ( $\sim 6 \times 10^8$  и  $\sim 5 \times 10^8$  Ом см для  $\text{Cd}_{0.97}\text{Zn}_{0.03}\text{Te}$  и  $\text{Cd}_{0.95}\text{Zn}_{0.05}\text{Te}$  соответственно).

Для измерений магнитного момента образцы вырезали из центра слитка таким образом, чтобы в них присутствовали два монокристаллических блока. На рис. 4 представлены температурные зависимости магнитного момента кристаллов  $\text{Cd}_{1-x}\text{Zn}_x\text{Te}$  в продольном магнитном поле 1 кЭ, ориентированном параллельно плоскости (110) кристаллов (с погрешностью  $\pm 10^\circ$ ). Зависимости были получены в процессе нагрева образца, предварительно охлажденного в нулевом поле до 2 К.

Все исследуемые образцы имели отрицательный магнитный момент, поскольку являются диамагнетиками. При этом при критической температуре  $T_{\text{crit}} \sim 245$  К на образце  $\text{Cd}_{0.97}\text{Zn}_{0.03}\text{Te}$  наблюдается резкий скачок магнитного момента, который может быть связан с фазовым переходом. Наблюданное резкое увеличение магнитного

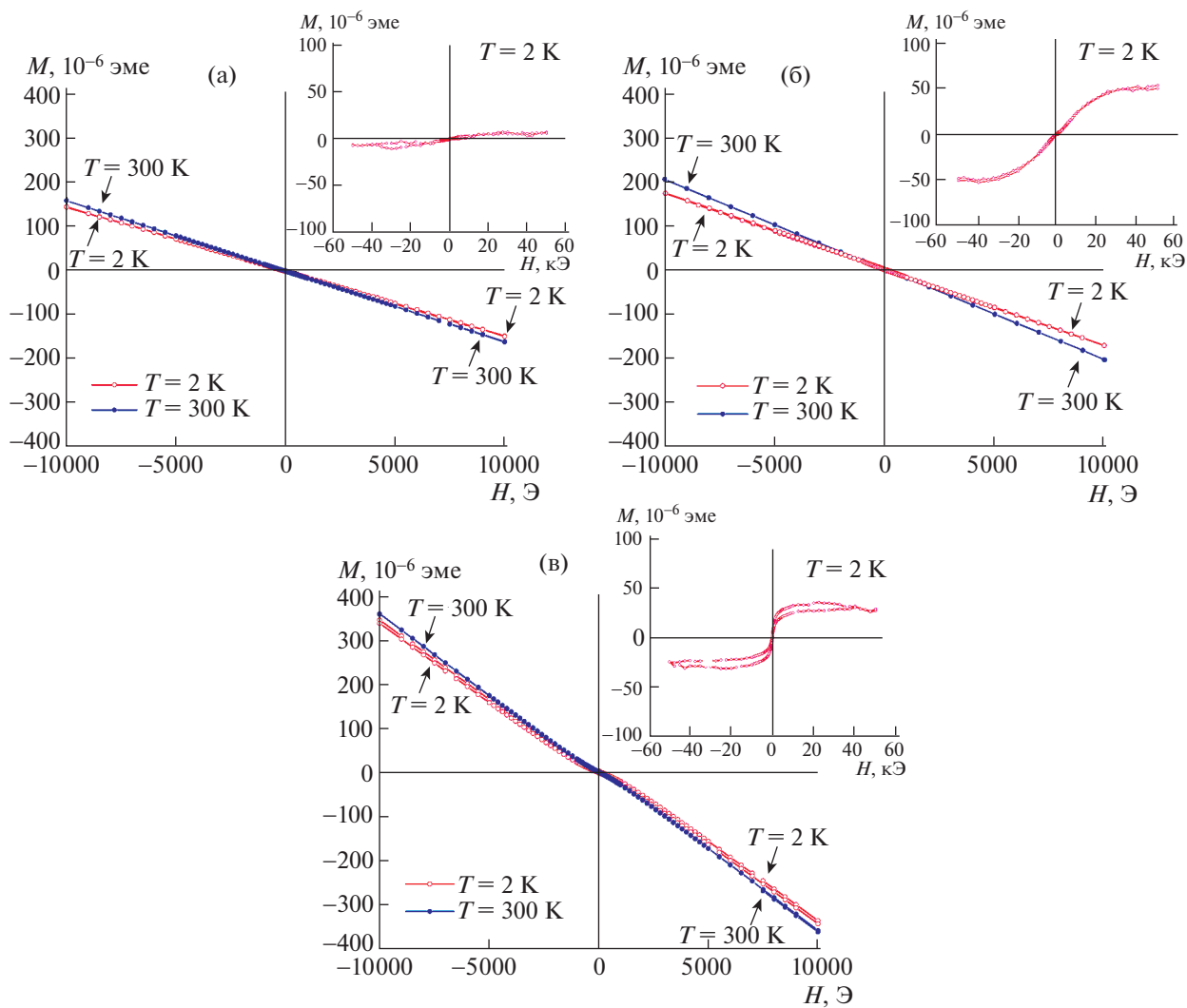


**Рис. 4.** Температурные зависимости магнитного момента образцов  $\text{Cd}_{1-x}\text{Zn}_x\text{Te}$  в магнитном поле, направленном вдоль плоскости (110) при 1 кЭ. На врезке увеличенная область в диапазоне температур 0–30 К.

момента при охлаждении ниже температуры  $T_{\text{crit}} \sim 11$  К в образцах  $\text{Cd}_{1-x}\text{Zn}_x\text{Te}$  ( $x = 0.03, 0.05$ ) было обнаружено и в [13], где связывали схожие аномалии магнитных свойств материалов с дефектами решетки, а именно с магнитными кластерами, образованными донорно-акцепторными парами типа (вакансии по Cd и Zn, замещающий Cd:  $\text{V}_{\text{Cd}}-\text{Zn}_{\text{Cd}}$ ), дающими незначительный вклад в магнитный момент при высоких температурах в силу их малой концентрации. Однако при низких температурах в соответствии с законом Кюри их магнитный момент начинает сильно возрастать. При этом магнитные свойства образцов сильно не изменяются с увеличением содержания Zn, что в [13] связывают с вхождением в решетку атомов Zn, приводящим как к изменению электрического сопротивления [28], так и к магнитному упорядочению дефектов замещения после достижения определенной концентрации Zn. В данном случае этого упорядочения не наблюдается из-за малых концентраций Zn в исследуемых кристаллах. Более того, наблюдается уменьшение намаг-

ниченности с ростом содержания Zn, что коррелирует с увеличением электрического сопротивления при увеличении концентрации Zn.

При вычете диамагнитной составляющей кристаллической решетки петли гистерезиса  $\text{Cd}_{0.97}\text{Zn}_{0.03}\text{Te}$  и  $\text{Cd}_{0.97}\text{Zn}_{0.05}\text{Te}$  при 2 К имеют вид ферромагнитной петли (рис. 5б, 5в). Причем насыщение в образцах  $\text{Cd}_{0.95}\text{Zn}_{0.05}\text{Te}$  наблюдается значительно раньше. В образцах  $\text{Cd}_{0.995}\text{Zn}_{0.005}\text{Te}$  гистерезис не наблюдается. Наличие гистерезиса объясняется ферромагнитным упорядочением в кластерах (включениях), содержащих железо и/или никель. Отсутствие ферромагнитных петель гистерезиса для образцов  $\text{Cd}_{0.995}\text{Zn}_{0.005}\text{Te}$ , по-видимому, объясняется особенностями условий роста, так как, несмотря на наличие примеси железа и никеля (табл. 1), не наблюдается агрегирования примесей Fe и Ni в кластеры. Косвенно это предположение подтверждается температурными зависимостями магнитного момента образцов (рис. 4), где на образцах  $\text{Cd}_{0.97}\text{Zn}_{0.03}\text{Te}$  и



**Рис. 5.** Петли гистерезиса образцов  $\text{Cd}_{0.995}\text{Zn}_{0.005}\text{Te}$  (а),  $\text{Cd}_{0.97}\text{Zn}_{0.03}\text{Te}$  (б) и  $\text{Cd}_{0.95}\text{Zn}_{0.05}\text{Te}$  (в) при температурах 2 и 300 К. На врезках петли гистерезиса при 2 К за вычетом диамагнитного вклада кристаллической решетки.

$\text{Cd}_{0.95}\text{Zn}_{0.05}\text{Te}$  наблюдается рост магнитного момента. В случае образца  $\text{Cd}_{0.95}\text{Zn}_{0.05}\text{Te}$  наблюдаемый рост более значителен. Для точного анализа происхождения ферромагнетизма, а также определения возможной анизотропии магнитных свойств необходимы дополнительные исследования при различной ориентации образца в магнитном поле. Для данных образцов подобные эксперименты не проводились ввиду разориентировки монокристаллических блоков друг относительно друга. При анализе полученных данных можно утверждать, что кристаллы  $\text{Cd}_{1-x}\text{Zn}_x\text{Te}$  ( $x = 0.05$ ) обладают электрическими и магнитными свойствами, характерными для кристаллов  $\text{CdZnTe}$  [12, 13]. В кристаллах  $\text{Cd}_{1-x}\text{Zn}_x\text{Te}$  ( $x = 0.03$ ) не наблюдается ярко выраженных свойств  $\text{CdZnTe}$ , несмотря на наличие фазы  $\text{CdZnTe}$ , которая не является стабильной. Формирования устойчивой

фазы  $\text{CdZnTe}$  не происходит из-за условий роста кристаллов ввиду сложности диффузионных процессов роста. Очевидно, что по аналогии с механизмом образования фаз в  $\text{Cd}_{0.995}\text{Zn}_{0.005}\text{Te}$ , описанным выше, в процессе посткриSTALLИЗАционного монотонного охлаждения закалка кристалла происходит не в однофазной, а в двухфазной области. В случае кристаллов  $\text{Cd}_{0.97}\text{Zn}_{0.03}\text{Te}$  из-за малой концентрации Zn в процессе роста не происходит образования стабильной фазы  $\text{CdZnTe}$ .

## ЗАКЛЮЧЕНИЕ

Модифицированным методом Обреимова–Шубникова получены поликристаллические слитки  $\text{Cd}_{1-x}\text{Zn}_x\text{Te}$  ( $x = 0.005, 0.03, 0.05$ ). Отобранные монокристаллические блоки изучены комплексом методов рентгенофазового анализа, измере-

ния электрических характеристик и магнитометрии. Исследована концентрационная зависимость изменения магнитных и электрических свойств кристаллов. Разные кристаллические блоки, закаляемые в процессе постростового охлаждения, имели различный химический состав, что подтверждено методом рентгеновского анализа. Для кристаллов CdZnTe с концентрацией ( $x = 0.03$ ) образования устойчивой фазы CdZnTe не наблюдается. Установлено, что уже при концентрациях Zn ( $x = 0.03, 0.05$ ) наблюдается ферромагнитное упорядочение в кластерах (включениях), содержащих железо и/или никель при 2 К, что позволяет рассматривать данные кристаллы как перспективные в качестве элементов спинtronики, а также расширяет спектр применения кристаллов CdZnTe и требует дальнейшего изучения кристаллов CdZnTe, легированных ионами подгруппы железа.

Работа выполнена при поддержке Министерства науки и высшего образования РФ в рамках выполнения работ по Государственному заданию ФНИЦ “Кристаллография и фотоника” РАН. Работа Р.Б. Моргунова выполнена при поддержке Института проблем химической физики (в рамках тематической карты AAAA-A19-119111390022-2).

## СПИСОК ЛИТЕРАТУРЫ

1. Owens A., Peacock A. // Nucl. Instrum. Methods Phys. Res. A. 2004. V. 531. P. 18.  
<https://doi.org/10.1016/j.nima.2004.05.071>
2. Takeda S. Experimental study of a Si/CdTe semiconductor Compton camera for the next generation of gamma-ray astronomy / Ph. D. Thesis. University of Tokyo. 2009.
3. Hubbell J.H., Seltzer S.M. Tables of X-Ray Mass Attenuation Coefficients and Mass Energy-Absorption Coefficients from 1 keV to 20 MeV for Elements Z = 1 to 92 and 48 Additional Substances of Dosimetric Interest // National Institute of Standards and Technology. 2004. NISTIR 5632.  
<https://doi.org/10.18434/T4D01F>
4. Del Sordo S., Abbene L., Caroli E. et al. // Sensors. 2009. V. 9 № 5. P. 3491.  
<https://doi.org/10.3390/s90503491>
5. Duarte D.D. Edge effects in a pixelated CdTe radiation detector / Ph. D. Thesis. University of Surrey. 2016.  
<https://doi.org/10.13140/RG.2.2.20470.86081>
6. Chaouai Z., Daniel G., Martinez J.M. et al. // Nucl. Instrum. Methods Phys. Res. A. 2022. V. 1033. P. 166670.  
<https://doi.org/10.1016/j.nima.2022.166670>
7. Clements N., Richtsmeier D., Hart A., Bazalova-Carter M. // J. Instrumentation. 2022. V. 17. P. 1004.  
<https://doi.org/10.1088/1748-0221/17/01/P01004>
8. Brombal L., Donato S., Brun F. et al. // J. Synchrotron Radiat. 2018. V. 25. P. 1068.  
<https://doi.org/10.1107/S1600577518006197>
9. Chen Y., Wang X., Song Q. et al. // AIP Adv. 2018. V. 8. P. 105113.  
<https://doi.org/10.1063/1.5052027>
10. Krucker S., Benz A.O., Hurfordal G.J. et al. // Nucl. Instrum. Methods Phys. Res. A. 2013. V. 732. P. 295.  
<https://doi.org/10.1016/j.nima.2013.05.050>
11. Krause L., Tolborg K., Gronbech T.B.E. et al. // J. Appl. Cryst. 2020. V. 53. P. 635.  
<https://doi.org/10.1107/S1600576720003775>
12. Павлюк М.Д. Дис. “Детекторные кристаллы на основе CdTe и Cd<sub>1-x</sub>Zn<sub>x</sub>Te для прямого счета рентгеновских и гамма-квантов”... канд. физ.-мат. наук. М.: ФНИЦ “Кристаллография и фотоника” РАН, 2020.
13. Шалдин Ю.В., Вархульска И., Рабаданов М.Х., Комарь В.К. // Физика и техника полупроводников. 2004. Т. 38. С. 300.
14. Raiss A.A., Sbai Y., Bahmad L., Benyoussef A. // J. Magn. Magn. Mater. 2015. V. 385. P. 295.  
<https://doi.org/10.1016/j.jmmm.2015.02.077>
15. Goumhar F., Bahmad L., Mounkachi O., Benyoussef A. // J. Magn. Magn. Mater. 2017. V. 428. P. 368.  
<https://doi.org/10.1016/j.jmmm.2016.12.041>
16. Chavan K.T., Chandra S., Kshirsagar A. // Mater. Today Commun. 2022. V. 30. P. 103104.  
<https://doi.org/10.1016/j.mtcomm.2021.103104>
17. Allahgholi A., Becker J., Delfs A. et al. // Nucl. Instrum. Methods Phys. Res. A. 2019. V. 942. P. 1.  
<https://doi.org/10.1016/j.nima.2019.06.065>
18. Zerrai A., Cherkaoui K., Marrakchi G. et al. // J. Cryst. Growth. 1999. V. 197. P. 646.  
[https://doi.org/10.1016/S0022-0248\(98\)00763-5](https://doi.org/10.1016/S0022-0248(98)00763-5)
19. Marbeuf A., Druilhe R., Triboulet R., Patriarche G. // J. Cryst. Growth. 1992. V. 117. P. 10.  
[https://doi.org/10.1016/0022-0248\(92\)90707-P](https://doi.org/10.1016/0022-0248(92)90707-P)
20. Аветисов И.Х. Дис. “Физико-химические основы технологии кристаллических халькогенидов кадмия и цинка с контролируемой стехиометрией” ... д-ра физ.-мат. наук. М.: РХТУ им. Д.И. Менделеева, 2011.
21. Косяченко А.А., Склярчук В.М., Склярчук О.В., Маслянчук О.Л. // Физика и техника полупроводников. 2011. Т. 45. С. 1323.
22. Prokesch M., Szeles C. // J. Appl. Phys. 2006. V. 100. P. 014503.  
<https://doi.org/10.1063/1.2209192>
23. Кондрік А.І. // Функціональна мікроелектроніка. 2004. № 6. С. 17.
24. Pavlyuk M.D., Subbotin I.A., Kanevsky V.M., Artemov V.V. // J. Cryst. Growth. 2017. V. 457. P. 112.  
<https://doi.org/10.1016/j.jcrysgr.2016.06.046>
25. Ivanov Yu.M. // J. Cryst. Growth. 1998. V. 194. P. 309.  
[https://doi.org/10.1016/S0022-0248\(98\)00620-4](https://doi.org/10.1016/S0022-0248(98)00620-4)
26. Павлюк М.Д., Каневский В.М., Иванов Ю.М. // Журн. неорган. химии. 2013. Т. 58. С. 1082.  
<https://doi.org/10.7868/S0044457X13080187>
27. Кондрік А.І., Ковтун Г.П. // Матеріали електроніки. 2019. № 4–5. С. 43.  
<https://doi.org/10.15222/TKEA2019.5-6.43>
28. Ivanov Yu.M., Artemov V.V., Kanevsky V.M. et al. // Eur. Phys. J. Appl. Phys. 2004. V. 27. P. 371.  
<https://doi.org/10.1051/epjap:2004086>
29. Комарь В.К., Наливайко Д.П., Герасименко А.С. и др. // Поверхность. Рентген. синхротр. и нейтр. исследования 2002. Т. 3. С. 94.